

ОПРЕДЕЛЕНИЕ МАГНИТНЫХ ПРОВОДИМОСТЕЙ  
ВОЗДУШНЫХ ПРОМЕЖУТКОВ Ш-ОБРАЗНОГО  
ЭЛЕКТРОМАГНИТА С ПОПЕРЕЧНО ДВИЖУЩИМСЯ ЯКОРЕМ

В. Н. ГУРНИЦКИЙ

(Представлена научным семинаром электромеханического факультета)

Существующие способы вычисления магнитных проводимостей воздушных промежутков электромагнитов вследствие трехмерности (в общем случае) магнитного поля и громоздкости самих методом расчета не дают полной уверенности в достаточной сходимости полученных в результате расчета данных с их истинными значениями. Если в случае простых геометрических форм воздушных промежутков расчет их проводимостей относительно несложен [1—4], то при необходимости вычислить проводимости зазора рассеяния и выпучивания для электромагнита такие вычисления часто оказываются практически невыполнимыми. В ряде случаев однако можно воспользоваться некоторыми опытными кривыми магнитных проводимостей воздушных промежутков для расчета магнитной цепи электромагнита.

Рассмотрим здесь случай Ш-образного электромагнита с поперечно движущимся якорем, являющимся элементом 4-обмоточного линейного двигателя [5].

Бегуны двухобмоточных и трехобмоточных линейных двигателей при перегрузках обладают свойством самореверса. Самореверс бегуна значительно устраняется при возрастании числа обмоток статора двигателя, но при этом возрастают также веса активных материалов на единицу мощности двигателя; четырехобмоточная конструкция в этом отношении является оптимальной. Геометрические размеры ярма и якоря электромагнита целесообразно отнести к величине перемещения якоря  $\tau$  из начального положения (рис. 1, а) в конечное (рис. 1, б). Тогда относительная высота пакета железа электромагнита

$$b_z = \frac{b}{\tau},$$

относительная длина зубца якоря

$$l_z = \frac{l}{\tau},$$

относительная длина сердечника ярма

$$h_z = \frac{h}{\tau},$$

относительная величина перемещения якоря

$$x_\tau = \frac{x}{\tau},$$

относительная величина воздушного зазора электромагнита

$$\delta_\tau = \frac{\delta}{\tau}.$$

Введение относительных единиц для выражения геометрических размеров данного электромагнита позволяет:

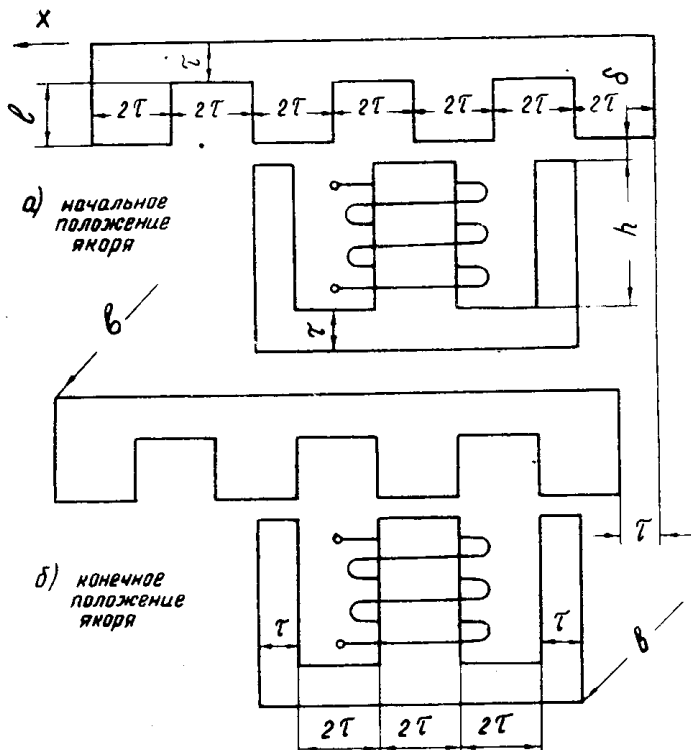


Рис. 1. Ш-образный электромагнит с поперечно движущимся якорем.

а) связать между собой значения проводимостей воздушных промежутков для различных  $b_\tau$ ,  $l_\tau$ ,  $x_\tau$ ,  $\delta_\tau$ , построив семейство кривых эквивалентных магнитных проводимостей воздушных промежутков  $G_\tau = f(b_\tau, l_\tau, x_\tau, \delta_\tau)$  при каком-то определенном значении  $\tau$ ;

б) вычислить по построенным кривым простым пересчетом величины проводимостей воздушных промежутков для любого  $\tau'$ ;

в) проследить влияния геометрии магнитопровода,  $\delta_\tau$  и  $x_\tau$  на величины  $G_\tau$ . Построение семейства кривых  $G_\tau = f(b_\tau, l_\tau, x_\tau, \delta_\tau)$  проводилось следующим образом. По катушке электромагнита пропускали переменный ток  $I$  заданного напряжения  $U$  (все замеры проводились при ненасыщенном магнитопроводе). При  $x_\tau=0$  (конечное положение якоря и  $\delta_\tau=0$  ( $b_\tau=\text{const}$ ,  $l_\tau=\text{const}$ )) ток был минимальным; при увеличении  $x_\tau$  и  $\delta_\tau$  ток возрастал. Представим ток  $I$  при любых  $b_\tau=\text{const}$ ,  $l_\tau=\text{const}$ ,  $x_\tau=\text{const}$ ,  $\delta_\tau=\text{const}$  в виде двух составляющих (рис. 2):  $I_{jk}$  — ток, пропорциональный магнитному сопротивлению магнитопровода;  $I_B$  — ток, пропорциональный эквивалентному магнитному сопротивлению всех путей потока индукции по воздуху.

Ток  $I_{ж}$  измерялся при  $x_{\tau}=0$ ,  $\delta_{\tau}=0$ ,  $b_{\tau}=\text{const}$ ,  $l_{\tau}=\text{const}$  и считался постоянным при всех остальных значениях  $x_{\tau}$  и  $\delta_{\tau}$ . Это допущение оказалось справедливым, так как, когда  $I_{ж}$  и  $I_B$  соизмеримы, то есть  $x_{\tau}$  и  $\delta_{\tau}$  близки к нулю, ошибка  $\Delta I_{ж}$  также близка к нулю; когда  $\Delta I_{ж}$  начинает сколько-нибудь изменяться  $I_B \gg I_{ж}$ . Таким образом, согласно первому закону Кирхгофа,

$$I_B = I - I_{ж}. \quad (1)$$

Эквивалентная индуктивность  $L_B$  (рис. 2), пропорциональная эквивалентной магнитной проводимости воздушных промежутков  $G_{\tau}$ , для различных  $b_{\tau}$ ,  $l_{\tau}$ ,  $x_{\tau}$ ,  $\delta_{\tau}$  равна (активным сопротивлением обмотки пренебрегаем)

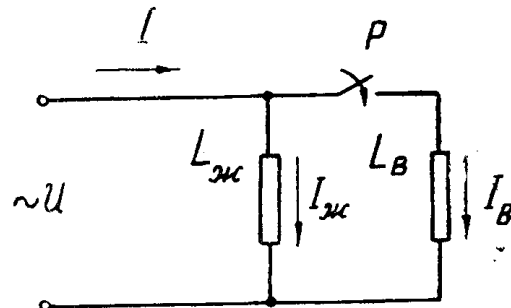


Рис. 2. Схема замещения магнитной цепи электромагнита.

$$L_B = \frac{U}{2\pi f \cdot I_B}, \quad (2)$$

где

$f$  — частота питающего напряжения  $U$ .

Величины  $L_B$  для различных  $b_{\tau}$ ,  $l_{\tau}$ ,  $x_{\tau}$ ,  $\delta_{\tau}$  были пересчитаны на значения эквивалентных магнитных проводимостей воздушных промежутков  $G_{\tau}$  по формуле

$$G_{\tau} = \frac{L_B}{w^2}, \quad (3)$$

где  $w$  — число витков обмотки электромагнита.

Кривые  $G_{\tau} = f(b_{\tau}, l_{\tau}, x_{\tau}, \delta_{\tau})$  построены для  $b_{\tau}=2 \div 5$ ,  $l_{\tau}=1 \div 3$ ,  $x_{\tau}=0 \div 2$ ,  $\delta_{\tau}=0 \div 0,1$ ,  $h_{\tau}=6$  (рис. 3 а, б, в, г). При изменении  $h_{\tau}=5 \div 7$  значения  $G_{\tau}$  отклонялись от среднего ( $h_{\tau}=6$ ) незначительно.

Расчетные значения эквивалентных магнитных проводимостей  $G$  для электромагнита с любым  $\tau'$  (в метрах) получим, умножив значения  $G_{\tau}$ , взятые из кривых, на  $\tau_0$

$$G = G_{\tau} \cdot \tau_0, \quad (4)$$

где  $\tau_0 = \frac{\tau'}{0,01}$ ;  $0,01$  — значение  $\tau$  (в метрах) электромагнита, на котором снимались кривые

$$G_{\tau} = f(b_{\tau}, l_{\tau}, x_{\tau}, \delta_{\tau}).$$

Действительно, формула (4) справедлива, так как проводимость подобного электромагнита с  $\tau' \neq \tau$  изменяется в  $\frac{\tau'}{\tau}$  раз. Проводимость  $G_{\tau}$ , например, при больших значениях  $b$ ,  $l$  малом  $\delta$  и  $x=0$  может быть вычислена

$$G_{\tau} = 4\pi \cdot 10^{-7} \frac{b \cdot \tau}{\delta}. \quad (5)$$

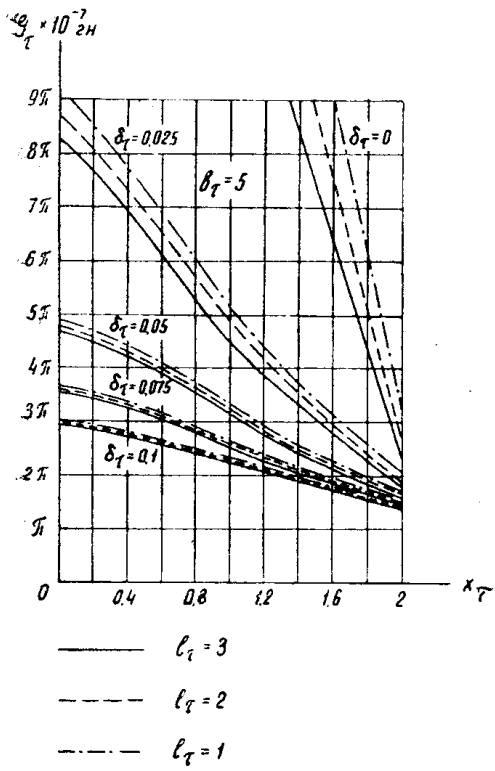
Если

$$b = 5 \tau, \quad \delta = 0,025 \cdot \tau,$$

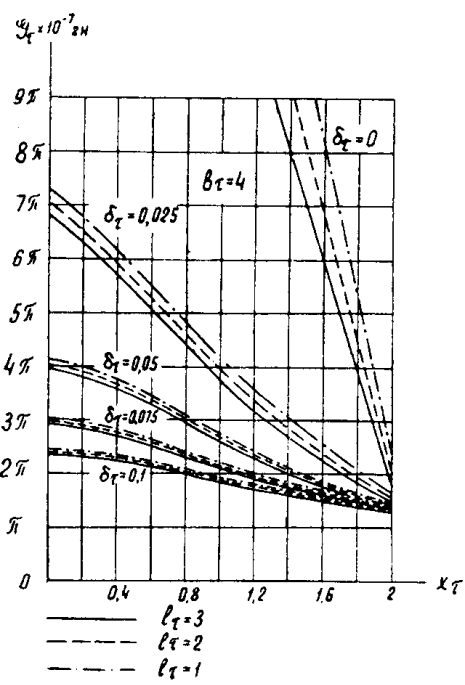
то

$$G_{\tau} = 4\pi \cdot 10^{-7} \frac{5\tau \cdot \tau}{0,025\tau} = 8\pi \cdot 10^{-5} \cdot \tau,$$

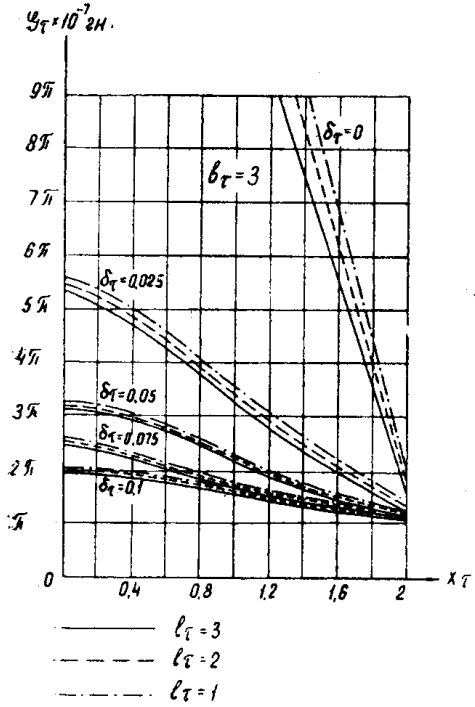
т. е.  $G_{\tau}$  линейно зависит от  $\tau$ .



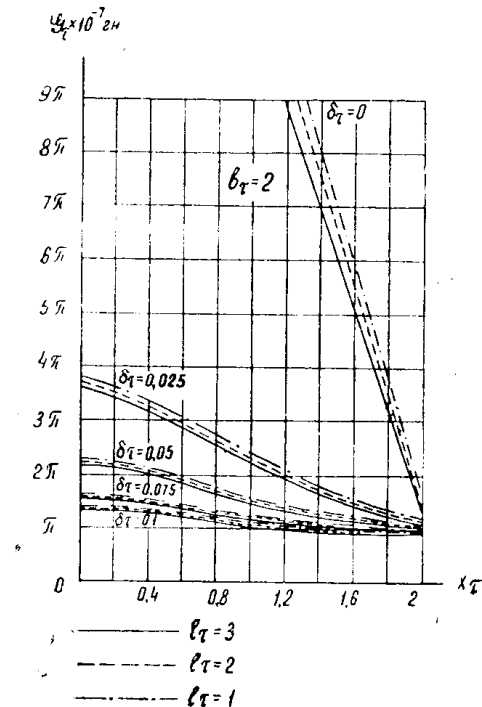
a



b



c



d

Рис. 3 а, б, в, г. Кривые эквивалентных магнитных проводимостей воздушных промежутков ш-образного электромагнита с поперечно движущимся якорем.

Формула (4) является точной для однородных полей и приближенной для неоднородных, причем приближение тем грубее, чем больше отличается  $\tau'$  от  $\tau$ . При снятии кривых  $G_\tau = f(b_\tau, l_\tau, x_\tau, \delta_\tau)$  магнитопровод выполнялся шихтованным и поверхности, граничащие с путями магнитного потока по воздуху, были обработаны с чистотой не менее  $\nabla 4$  и отклонением от плоскостности не более 0,025 мм (0,0025  $\tau$ ).

При пользовании кривыми значения величин  $G_\tau$  и  $b_\tau, l_\tau, x_\tau, \delta_\tau$  можно интерполировать в пределах их изменений. Проверка кривых для вычисления  $G$  подобного электромагнита с  $\tau' = 0,015$  ( $\tau_0 = 1,5$ ) показала, что отклонение расчетных значений проводимостей от истинных во всех случаях не превышало 5% для  $h_\tau = 6$  и 7% — для  $h_\tau = 5 \div 7$ .

## Выводы

1. Описанный способ нахождения эквивалентных магнитных проводимостей воздушных промежутков Ш-образного электромагнита с подперечно движущимся якорем при своей простоте позволяет получить достаточно точные результаты.

2. Построенные кривые дают наглядную картину изменения значений проводимостей  $G_\tau$  в зависимости от геометрических размеров магнитопровода ( $b_\tau, l_\tau$ ), воздушного зазора ( $\delta_\tau$ ) и тангенциального перемещения якоря ( $x_\tau$ ).

3. Изложенная методика определения проводимостей потока индукции по воздуху может быть применена для серии подобных электромагнитов любого типа.

## ЛИТЕРАТУРА

1. Ротерс. Электромагнитные механизмы, ГЭИ, 1949.
2. А. В. Гордон, А. Г. Сливинская. Электромагниты постоянного тока, ГЭИ, 1960.
3. Ю. С. Русин. Расчет магнитной проводимости Изв. вузов «Электромеханика», № 12, 1963.
4. Б. К. Буль. Основы теории и расчета магнитных цепей, Изд. «Энергия», 1964.
5. А. И. Зайцев, В. Н. Гурницкий. Разработка тихоходного линейного привода. Тезисы докладов третьей научно-технической конференции по вопросам автоматизации производства, Томск, 1964.